

Сравнение различных конструкций двоичных МПП-кодов, построенных на основе матриц перестановок

В. В. Зяблов, Ф. И. Иванов, В. Г. Потапов

Институт проблем передачи информации, Российская академия наук, Москва, Россия
Поступила в редколлегию 01.01.2012

Аннотация—В работе рассматриваются ансамбли двоичных кодов с малой плотностью проверок, построенные на основе матриц перестановок. Предложены алгоритмы генерации проверочных матриц таких кодов. Представлены результаты моделирования полученных кодовых конструкций для итеративного алгоритма декодирования “распространения доверия” (Sum-Product) при передаче кодового слова по двоичному каналу с аддитивным белым гауссовским шумом.

1. ВВЕДЕНИЕ

В работе [1] Р. Галлагер впервые описал конструкцию кодов с малой плотностью проверок (МПП-кодов Галлагера) и предложил алгоритм генерации проверочной матрицы \mathbf{H} таких кодов. Проверочную матрицу \mathbf{H}_0 МПП-кода длины n_0 можно записать как $\mathbf{H}_0 = \underbrace{111\dots 1}_{n_0}$.

Запишем диагональную блочную матрицу \mathbf{H}_m с m проверочными матрицами \mathbf{H}_0 на главной диагонали:

$$\mathbf{H}_m = \underbrace{\begin{pmatrix} \mathbf{H}_0 & 0 & \dots & 0 \\ 0 & \mathbf{H}_0 & \dots & 0 \\ \vdots & \vdots & \ddots & \vdots \\ 0 & 0 & \dots & \mathbf{H}_0 \end{pmatrix}}_m,$$

где m достаточно велико. Так как размер матрицы \mathbf{H}_0 равен $1 \times n_0$, то размер матрицы \mathbf{H}_m — $m \times mn_0$. Пусть $\pi(\mathbf{H}_m)$ — случайная перестановка столбцов матрицы \mathbf{H}_m . Тогда матрица \mathbf{H} , составленная из $l > 2$ таких перестановок в качестве слоев,

$$\mathbf{H} = \begin{pmatrix} \mathbf{H}_1 \\ \mathbf{H}_2 \\ \vdots \\ \mathbf{H}_l \end{pmatrix} = \begin{pmatrix} \pi_1(\mathbf{H}_m) \\ \pi_2(\mathbf{H}_m) \\ \vdots \\ \pi_l(\mathbf{H}_m) \end{pmatrix}$$

является разреженной проверочной матрицей размера $lm \times mn_0$, которая определяет ансамбль МПП-кодов Галлагера длины $n = n_0m$, $n \gg n_0$. Обозначим этот ансамбль $\mathcal{E}(l, n_0, m)$. Элементы ансамбля $\mathcal{E}(l, n_0, m)$ получаются путем независимого выбора перестановок π_i , $i = 1, 2, \dots, l$. Все перестановки π_i выбираются равновероятно, таким образом на ансамбле $\mathcal{E}(l, n_0, m)$ задано равномерное распределение.

Нижняя оценка на скорость R кода из $\mathcal{E}(l, n_0, m)$ определяется формулой $R \geq 1 - l(1 - R_0)$, где $R_0 = \frac{n_0 - 1}{n_0} = 1 - \frac{1}{n_0}$ – скорость кода проверки на четность. Таким образом, получим оценку на скорость МПП-кодов Галлагера:

$$R \geq 1 - \frac{l}{n_0}. \quad (1)$$

МПП-коды принято классифицировать на две группы: регулярные (проверочная матрица \mathbf{H} содержит ровно n_0 и l единиц в каждой строке и столбце соответственно) и нерегулярные (количество единиц в строке и столбце является переменным).

Известно, что эффективность нерегулярных МПП-кодов оказывается выше, чем регулярных. Это преимущество связано с тем, что нерегулярных кодах из-за различного числа единиц в строках и столбцах информационные символы защищены по-разному. В результате при декодировании проявляется так называемый эффект волны, когда более защищенные биты декодируются быстрее и затем как бы помогают при декодировании менее защищенных бит.

В то же время регулярные конструкции позволяют использовать методы оптимизации процедур генерации, хранения, кодирования и декодирования, а также получать коды с более предсказуемыми характеристиками.

В практических приложениях, вместо кодов из ансамбля Галлагера, часто используют МПП-коды, проверочная матрица которых основана на матрицах перестановок. Такой подход был предложен Ричардсоном в [2]. Он так же развит во многих работах, например в [3]–[5].

В работах [6]–[8] рассмотрены квадратные матрицы, состоящие из циркулянтных перестановочных матриц размера q или $q - 1$, где $q = p^m$, p – простое.

Наша задача заключается в разработке и исследовании различных конструкций проверочных матриц регулярных МПП-кодов, основанных на матрицах перестановок. В статье предложено несколько алгоритмов генерации проверочных матриц такого вида, доказана верхняя оценка на кодовое расстояние. Подробно исследованы свойства оператора циклического сдвига, а так же свойства уравнений и систем уравнений с матричными коэффициентами относительно векторных неизвестных.

Статья организована следующим образом: в § 2.1 введены основные определения и обозначения, используемые в статье. В § 2.2 представлена общая конструкция проверочной матрицы МПП-кодов, построенных на основе матриц перестановок. В § 2.3 дано определение оператора циклического сдвига и доказаны некоторые его свойства. В § 2.4 рассмотрены линейные векторные уравнения с матричными коэффициентами. В § 2.5 исследованы системы линейных векторных уравнений с матричными коэффициентами, доказаны результаты, связанные с существованием их решений. В § 2.6 представлены алгоритмы построения проверочных матриц МПП-кодов специального вида. В § 3 приведены результаты компьютерного моделирования описанных в статье конструкций кодов.

2. МПП-КОДЫ, ПОСТРОЕННЫЕ НА ОСНОВЕ МАТРИЦ ПЕРЕСТАНОВОК

2.1. Основные определения и обозначения

Ниже приведем основные определения и обозначения, которые будут использоваться в статье.

Определение. *Перестановка* – биективное отображение σ множества $M = \{1, 2, \dots, m\}$ в себя. То есть $\sigma : i \mapsto j$, $i, j \in M$. Обычно перестановку записывают в виде:

$$\sigma = \begin{pmatrix} 1 & 2 & 3 & \dots & m \\ \sigma(1) & \sigma(2) & \sigma(3) & \dots & \sigma(m) \end{pmatrix}. \text{ Число } m \text{ называют длиной перестановки.}$$

Определение. Перестановку ϵ будем называть *единичной*, если $\forall i = \overline{1, n} \epsilon(i) = i$.

Введем на множестве \mathcal{M} всех перестановок длины m операцию суперпозиции следующим образом: пусть $\pi, \sigma \in \mathcal{M}, k \in M$, тогда суперпозицией данных перестановок назовем перестановку $\tau = (\pi \cdot \sigma)(k) = \pi(\sigma(k))$

Замечание. Для любой перестановки $\sigma \in \mathcal{M}$ существует перестановка σ^{-1} такая, что: $\sigma \cdot \sigma^{-1} = \epsilon$. Такую перестановку назовем *обратной*.

Замечание. Множество всех перестановок длины m образуют конечную группу \mathcal{S}_m относительно операции суперпозиции. Обычно эту группу называют симметрической. Очевидно, что $|\mathcal{S}_m| = m!$, где $|\cdot|$ – количество элементов в группе.

Определение. Под k -й степенью перестановки σ будем понимать k -кратную суперпозицию $\tau = \underbrace{\sigma \cdot \sigma \cdot \dots \cdot \sigma}_k = \sigma^k$.

Определение. *Порядком* перестановки σ назовем наименьшее $n \in \mathbb{N}$, такое что $\sigma^n = \epsilon$. Будем записывать $n = ord \sigma$.

Любую перестановку $\sigma = \begin{pmatrix} 1 & 2 & 3 & \dots & m \\ \sigma(1) & \sigma(2) & \sigma(3) & \dots & \sigma(m) \end{pmatrix}$ длины m можно представить в виде ортогональной матрицы $\mathbf{P}_\sigma = \begin{pmatrix} \mathbf{e}_{\sigma(1)} \\ \mathbf{e}_{\sigma(2)} \\ \mathbf{e}_{\sigma(3)} \\ \vdots \\ \mathbf{e}_{\sigma(m)} \end{pmatrix}$, где \mathbf{e}_i – m -мерный базисный вектор, содержащий единицу на i позиции, и 0 – во всех остальных.

Как было отмечено, множество перестановок длины m образуют группу относительно операции суперпозиции, таким образом множество \mathcal{P} – всех матриц перестановок так же образуют группу, которую мы обозначим \mathcal{P}_m . Очевидно, что $|\mathcal{P}_m| = m!$.

Приведем алгоритм построения перестановок специального вида, который потребуется нам в дальнейшем.

Определение. Пусть $\sigma \in \mathcal{S}_m, \sigma = \begin{pmatrix} 1 & 2 & 3 & \dots & m \\ a_1 & a_2 & a_3 & \dots & a_m \end{pmatrix}$, где $a_i = \sigma(i), b \in \mathbb{N} : (b, m) = 1, (\cdot, \cdot)$ – наибольший общий делитель. Определим перестановку σ_b следующим образом: $\sigma_b = \begin{pmatrix} 1 & 2 & 3 & \dots & m \\ c_1 & c_2 & c_3 & \dots & c_m \end{pmatrix}$, где $c_i = (a_i b \bmod m) + 1$. Перестановку σ_b назовем *перестановкой-умножением*.

Лемма. Если $(b, m) = t > 1$, то σ_b не является перестановкой.

Доказательство. Для того, чтобы σ_b было биекцией, необходимо, чтобы $\sigma_b(i) \neq \sigma_b(j), i \neq j$, или $c_i \neq c_j, i \neq j$. Покажем, что данное условие нарушается как только $(b, m) = t > 1$. Обозначим через $\mathcal{A} = \underbrace{\{a_i - a_j\}}_{i \neq j} = \{1, 2, \dots, m - 1\}$. Рассмотрим условие, когда $c_i = c_j$, т. е.

$$\begin{aligned} (a_i b \bmod m) + 1 &= (a_j b \bmod m) + 1, \\ (a_i b \bmod m) &= (a_j b \bmod m), \\ (a_i - a_j) b \bmod m &= 0. \end{aligned}$$

Так как $(b, m) = t > 1$, то $\frac{m}{t} \in \mathcal{A}$. Таким образом, найдутся $a_i^* \neq a_j^* : a_i^* - a_j^* = \frac{m}{t}$, поэтому $(a_i^* - a_j^*)b \bmod m = \frac{m}{t}b \bmod m = m\frac{b}{t} \bmod m$. Так как $(b, m) = t > 1$, то $\frac{b}{t} = z \in \mathbb{N}$, поэтому $m\frac{b}{t} \bmod m = zm \bmod m = 0$. Таким образом $c_i = c_j$ при $i \neq j$. Поэтому σ_b не является биекцией.

Легко показать, что $b_i : (b_i, m) = 1$ при фиксированном m образуют мультипликативную группу G_m^* . $|G_m^*| = \phi(m)$, где $\phi(\cdot)$ – функция Эйлера. Если m – простое, то $|G_m^*| = m - 1$

2.2. Общая конструкция проверочной матрицы МПП-кодов, основанных на матрицах перестановок

Пусть $m, l, n_0 \in \mathbb{N}$, причем $n_0 > l, m! > ln_0$. Рассмотрим группу \mathcal{P}_m , введенную нами ранее. Выберем ln_0 случайных матриц $\{\mathbf{P}_{ij}\} \subset \mathcal{P}_m, i = \overline{1, l}, j = \overline{1, n_0}$. Потребуем так же, что если $\mathbf{P}_{ij} = \mathbf{P}_{ks}$, то $i = j, k = s$. Ясно, что такие условия выбора матриц \mathbf{P}_{ij} соответствуют урновой модели без возвратов. Построим проверочную матрицу $\mathbf{H}_{l \times n_0}$:

$$\mathbf{H} = \begin{pmatrix} \mathbf{P}_{11} & \mathbf{P}_{12} & \mathbf{P}_{13} & \dots & \mathbf{P}_{1n_0} \\ \mathbf{P}_{21} & \mathbf{P}_{22} & \mathbf{P}_{23} & \dots & \mathbf{P}_{2n_0} \\ \vdots & \vdots & \vdots & \vdots & \vdots \\ \mathbf{P}_{l1} & \mathbf{P}_{l2} & \mathbf{P}_{l3} & \dots & \mathbf{P}_{ln_0} \end{pmatrix}. \quad (2)$$

Указанный выше способ построения матрицы \mathbf{H} гарантирует, что все матрицы в каждой строке и в каждом столбце будут различны. Так как \mathbf{P}_{ij} – квадратная матрица размера $m \times m$, то размерность $\mathbf{H} – ml \times mn_0$. \mathbf{H} определяет ансамбль регулярных МПП-кодов Галлагера длины $n = n_0m$, который мы обозначим $\mathcal{E}_R(l, n_0, m)$. Элементы ансамбля $\mathcal{E}_R(l, n_0, m)$ получаются путем выбора без возвратов матриц перестановок $\mathbf{P}_{ij} \in \mathcal{P}_m, i = 1, 2, \dots, l, j = 1, 2, \dots, n_0$. Легко показать, что

$$|\mathcal{E}_R(l, n_0, m)| = \frac{(m!)^l}{(ln_0)!}.$$

Согласно (1), скорость R кода из $\mathcal{E}_R(l, n_0, m)$ может быть оценена следующим образом:

$$R \geq 1 - \frac{l}{n_0}.$$

Пример. Фиксируем $l = 5$, тогда для скоростей $R = 0.1, 0.2, \dots, 0.9$ получим следующие значения n_0 :

Таблица 1.

R	0.1	0.2	0.3	0.4	0.5	0.6	0.7	0.8	0.9
n_0	6	6	8	9	10	13	17	25	50

Аналогично, для $l = 7$ получим:

Таблица 2.

R	0.1	0.2	0.3	0.4	0.5	0.6	0.7	0.8	0.9
n_0	8	9	10	12	14	18	24	35	70

Докажем теорему, дающую верхнюю оценку на кодовое расстояние кода $C \in \mathcal{E}_R(l, n_0, m)$.

Теорема. $d_C \leq 2m \forall C \in \mathcal{E}_R(l, n_0, m)$, где d_C – кодовое расстояние кода C .

Доказательство. Для доказательства достаточно показать, что вектор

$$\mathbf{c} = (\underbrace{1, 1, 1, \dots, 1}_{2m}, \underbrace{0, 0, \dots, 0}_{n-2m})$$

является кодовым словом, то есть $\mathbf{c}\mathbf{H}^T = \mathbf{0}$. Данное равенство эквивалентно сложению первых $2m$ строк проверочной матрицы \mathbf{H} по модулю 2. Первые $2m$ строк соответствуют первым 2 слоям проверочной матрицы \mathbf{H} . Каждый столбец данной двуслойной матрицы содержит ровно 2 единицы. Таким образом \mathbf{c} действительно является кодовым словом. Так как $w(\mathbf{c}) = 2m$, то $d_C \leq 2m$.

Согласно теореме Варшавова–Гилберта при достаточно большом n не существует двоичного кода со скоростью R , имеющего кодовое расстояние больше, чем расстояние, которое находится из уравнения $R = 1 - \mathcal{H}\left(\frac{d_C}{n}\right)$, где $\mathcal{H}(\delta) = -\delta \log_2(\delta) - (1 - \delta) \log_2(1 - \delta)$ – энтропийная функция Шеннона двоичного информационного источника. Мы доказали, что $d_C \leq 2m$, поэтому $\frac{d_C}{n} \leq \frac{2m}{n_0 m} = \frac{2}{n_0}$. Таким образом

$$n_0 \leq \frac{2}{\delta}. \tag{3}$$

Построим таблицу зависимости между R и n_0 в соответствии с (3).

Таблица 3.

R	0.1	0.2	0.3	0.4	0.5	0.6	0.7	0.8	0.9
δ	0.32	0.24	0.19	0.15	0.11	0.08	0.05	0.03	0.01
n_0	7	9	11	14	19	25	40	67	200

Данная таблица показывает, каким должно быть значение n_0 , чтобы код имел возможность достигать границы Варшавова–Гилберта. С другой стороны, скорость R так же связана с n_0 и l . Легко заметить, что $R \geq \frac{1}{n_0}, \forall n_0$. Таким образом $\frac{1}{R} \leq n_0 \leq \frac{2}{\delta}$. Таким образом, при малых значениях n_0 , и, соответственно, при малых скоростях (согласно таблице 3), не существует кодов с параметрами, которые близки к оптимальным.

2.3. Оператор циклического сдвига

Определение. Под $V^m(2)$ будем понимать множество векторов $\{\mathbf{a}_1, \mathbf{a}_2, \dots, \mathbf{a}_{2^m}\}$, $\mathbf{a}_i = (a_{i1}, a_{i2}, \dots, a_{im}), m \in \mathbb{N}, m \geq 2, a_{ij} \in GF(2)$.

Определение. Под суммой векторов $\mathbf{a} + \mathbf{b}$, где $\mathbf{a}, \mathbf{b} \in V^m(2)$ будем понимать вектор $\mathbf{c} = (c_1, c_2, \dots, c_m)$, где $c_i = (a_i + b_i) \bmod 2$.

Определение. Весом $w(\mathbf{a})$, где $\mathbf{a} \in V^m(2)$, будем называть количество ненулевых координат вектора \mathbf{a} .

Очевидно, что $V^m(2)$ является линейным пространством над полем $GF(2)$. Введем в пространстве $V^m(2)$ операцию циклического сдвига. Введем ряд необходимых определений.

Определение. Под *матрицей h -кратного циклического сдвига $\mathbf{E} \oplus h$* , где \mathbf{E} – единичная матрица размера $m \times m$, $h \in \mathbb{Z}$, $0 \leq h \leq m$, будем понимать квадратную матрицу следующего вида:

$$\mathbf{E} \oplus h = \begin{pmatrix} 0 & 0 & 0 & \dots & 1 & 0 & 0 & \dots & 0 \\ 0 & 0 & 0 & \dots & 0 & 1 & 0 & \dots & 0 \\ 0 & 0 & 0 & \dots & 0 & 0 & 1 & \dots & 0 \\ \dots & \dots & \dots & \dots & \dots & \dots & \dots & \dots & \dots \\ 0 & 0 & 0 & \dots & \dots & \dots & 0 & 1 & \\ 1 & 0 & 0 & \dots & \dots & \dots & 0 & 0 & \\ 0 & 1 & 0 & \dots & \dots & \dots & 0 & 0 & \\ 0 & 0 & 1 & \dots & \dots & \dots & 0 & 0 & \\ \dots & \dots & \dots & \dots & \dots & \dots & \dots & \dots & \dots \\ 0 & \dots & \dots & 0 & 1 & 0 & \dots & \dots & 0 \end{pmatrix}, \quad (4)$$

где $h + 1$ – позиция единицы в 1 столбце, а $m - h + 1$ – позиция единицы в 1 строке. Будем считать, что $\mathbf{E} \oplus 0 = \mathbf{E} \oplus m = \mathbf{E}$.

Определение. *h -кратной циклической перестановкой* назовем такую перестановку $\lambda_h \in \mathcal{S}_m$, что $\mathbf{P}_{\lambda_h} = \mathbf{E} \oplus h$.

Исходя из построения видно, что множество $\mathcal{P}_m^s = \{\mathbf{E}, \mathbf{E} \oplus 1, \mathbf{E} \oplus 2, \dots, \mathbf{E} \oplus (m - 1)\} \subset \mathcal{P}_m$. Данное множество образует циклическую группу порядка m .

Замечание. Легко заметить, что $(\mathbf{E} \oplus h)^{-1} = \mathbf{E} \oplus (m - h)$.

Определение. Оператор $\mathcal{A}_h : V^m(2) \mapsto V^m(2)$, который сопоставляет каждому вектору $\mathbf{a} \in V^m(2)$ вектор $\mathbf{a}_h \in V^m(2)$ по правилу $\mathcal{A}_h(\mathbf{a}) = (\mathbf{E} \oplus h)\mathbf{a}$ будем называть *оператором h -кратного циклического сдвига*.

Рассмотрим свойства построенного оператора \mathcal{A}_h :

1. \mathcal{A}_h имеет 2 неподвижные точки – нулевой и единичный вектора;
2. \mathcal{A}_h инвариантен относительно веса: если $\mathbf{a} \in V^m(2)$, $w(\mathbf{a}) = k$, то $w(\mathcal{A}_h(\mathbf{a})) = k$;
3. \mathcal{A}_h является аддитивным: если $\mathbf{a}_1, \mathbf{a}_2 \in V^m(2)$, то $\mathcal{A}_h(\mathbf{a}_1 + \mathbf{a}_2) = \mathcal{A}_h(\mathbf{a}_1) + \mathcal{A}_h(\mathbf{a}_2)$;
4. \mathcal{A}_h является однородным.

Свойства (3) и (4) позволяют сделать заключение о линейности оператора \mathcal{A}_h .

Определение. *Суперпозицией* операторов \mathcal{A}_{h_1} и \mathcal{A}_{h_2} назовем оператор $\mathcal{A}_{h_1} \cdot \mathcal{A}_{h_2} = \mathcal{A}_{(h_1+h_2) \bmod m}$.

Из определения следует коммутативность операции суперпозиции: $\mathcal{A}_{h_1} \cdot \mathcal{A}_{h_2} = \mathcal{A}_{h_2} \cdot \mathcal{A}_{h_1}$.

Теперь докажем теорему, в которой утверждается, что оператор \mathcal{A}_h имеет ровно две неподвижные точки.

Теорема. (*О неподвижных точках*) Если \mathcal{A}_h – оператор циклического сдвига, $h_1, h_2 \in \mathbb{N}$, $h_1, h_2 < m$, $h_1 \neq h_2$, $\mathbf{a} = (a_1, a_2, \dots, a_m)$, $\mathbf{a} \in V^m(2)$, то из условия $\mathcal{A}_{h_1}(\mathbf{a}) = \mathcal{A}_{h_2}(\mathbf{a})$ следует, что $\mathbf{a} = (0, 0, \dots, 0)$ или $\mathbf{a} = (1, 1, \dots, 1)$.

Доказательство. Пусть $\mathcal{A}_{h_1}(\mathbf{a}) = \mathcal{A}_{h_2}(\mathbf{a})$, по определению оператора циклического сдвига это значит, что $(\mathbf{E} \oplus h_1)\mathbf{a} = (\mathbf{E} \oplus h_2)\mathbf{a}$.

Подействуем на обе стороны данного равенства оператором \mathcal{A}_{m-h_1} , получим: $\mathcal{A}_{m-h_1} \cdot \mathcal{A}_{h_1}(\mathbf{a}) = \mathcal{A}_{m-h_1} \cdot \mathcal{A}_{h_2}(\mathbf{a})$. По определению суперпозиции операторов $\mathcal{A}_{m-h_1} \cdot \mathcal{A}_{h_1}(\mathbf{a}) = \mathcal{A}_{m-h_1+h_1}(\mathbf{a}) = \mathcal{A}_m(\mathbf{a}) = \mathbf{E}\mathbf{a} = \mathbf{a}$. Тогда условие равенства операторов примет вид:

$$\mathbf{E}\mathbf{a} = (\mathbf{E} \oplus h)\mathbf{a},$$

$$(\mathbf{E} \oplus h)\mathbf{a} + \mathbf{E}\mathbf{a} = \mathbf{0},$$

$$((\mathbf{E} \oplus h) + \mathbf{E})\mathbf{a} = \mathbf{0},$$

где $h = (m - h_1 + h_2) \bmod m$.

Пусть $\mathbf{S} = (\mathbf{E} \oplus h) + \mathbf{E}$. Исследуем матричное уравнение $\mathbf{S}\mathbf{a} = \mathbf{0}$, где

$$\mathbf{S} = \begin{pmatrix} 1 & 0 & 0 & \dots & 1 & 0 & 0 & \dots & 0 \\ 0 & 1 & 0 & \dots & 0 & 1 & 0 & \dots & 0 \\ 0 & 0 & 1 & \dots & 0 & 0 & 1 & \dots & 0 \\ \dots & \dots & \dots & \dots & \dots & \dots & \dots & \dots & \dots \\ \dots & \dots & \dots & \dots & \dots & \dots & \dots & \dots & \dots \\ 0 & 0 & 0 & \dots & \dots & \dots & 0 & 1 & \dots \\ 1 & 0 & 0 & \dots & \dots & \dots & 0 & 0 & \dots \\ 0 & 1 & 0 & \dots & \dots & \dots & 0 & 0 & \dots \\ 0 & 0 & 1 & \dots & \dots & \dots & 0 & 0 & \dots \\ \dots & \dots & \dots & \dots & \dots & \dots & \dots & \dots & \dots \\ 0 & \dots & \dots & \dots & 0 & 1 & 0 & \dots & \dots & 1 \end{pmatrix}.$$

Каждая строка и каждый столбец матрицы \mathbf{S} содержат ровно 2 единицы. Из структуры \mathbf{S} видно, что матричное уравнение $\mathbf{S}\mathbf{a} = \mathbf{0}$ порождает m уравнений для коэффициентов вектора \mathbf{a} :

$$\begin{cases} a_{i_1} + a_{j_1} = 0 \\ a_{i_2} + a_{j_2} = 0 \\ \dots \\ a_{i_m} + a_{j_m} = 0. \end{cases}$$

Причем каждый коэффициент вектора присутствует ровно в двух уравнениях. Рассмотрим два таких связанных уравнения:

$$\begin{cases} a_{i_k} + a_{j_s} = 0 \\ a_{i_k} + a_{j_t} = 0. \end{cases}$$

Из данной системы следует, что $a_{j_s} = a_{j_t} = a_{i_k}$. Однако, каждая из данных координат вновь участвует в построении 2 уравнений. Проводя аналогичные рассуждения, получим, что $a_i = a_j \forall i, j \leq m$. Таким образом $\mathbf{a} = (0, 0, \dots, 0)$ или $\mathbf{a} = (1, 1, \dots, 1)$.

Данная теорема имеет полезное следствие, которое необходимо для исследования систем векторных уравнений с матричными коэффициентами.

Следствие. Если $\mathbf{a} \neq (0, 0, \dots, 0)$ и $\mathbf{a} \neq (1, 1, \dots, 1)$, то $\mathcal{A}_{h_1}(\mathbf{a}) = \mathcal{A}_{h_2}(\mathbf{a})$ тогда и только тогда, когда $h_1 = h_2$.

2.4. Линейные векторные уравнения с матричными коэффициентами

Рассмотрим уравнение

$$\mathbf{P}_1 \mathbf{a}_1 + \mathbf{P}_2 \mathbf{a}_2 = \mathbf{0}, \quad (5)$$

где $\mathbf{P}_i \in \mathcal{P}_m^s$, $\mathbf{a}_i \in V^m(2)$. Такое уравнение назовем *однородным линейным уравнением*. Изучение уравнения (5) начнем с тривиального случая, когда $\mathbf{P}_1 = \mathbf{E}$, $\mathbf{P}_2 = \mathbf{E} \oplus 1$. Очевидно, что $\mathbf{a}_1 = \mathbf{a}_2 = (0, 0, \dots, 0)$ и $\mathbf{a}_1 = \mathbf{a}_2 = (1, 1, \dots, 1)$ являются решениями уравнения (5). Такие решения будем называть *тривиальными*. Выясним, существуют ли нетривиальные решения уравнения (5). Для этого преобразуем его следующим образом:

$$\mathbf{E} \mathbf{a}_1 + (\mathbf{E} \oplus 1) \mathbf{a}_2 = \mathbf{0},$$

$$\mathbf{a}_1 = (\mathbf{E} \oplus 1) \mathbf{a}_2.$$

По определению оператора циклического сдвига последнее равенство означает, что

$$\mathbf{a}_1 = \mathcal{A}_1(\mathbf{a}_2).$$

Таким образом мы установили, что частный вид уравнения (5) имеет 2^m различных пар решений вида $\{\mathbf{a}_2, \mathcal{A}_1(\mathbf{a}_2)\}$. Аналогичными рассуждениями можно показать, что решение уравнения

$$\mathbf{E} \mathbf{a}_1 + (\mathbf{E} \oplus t) \mathbf{a}_2 = \mathbf{0} \quad (6)$$

имеет вид $\{\mathbf{a}_2, \mathcal{A}_t(\mathbf{a}_2)\}$.

Легко показать, что решение частного случая уравнения (5) инвариантно относительно k -кратного циклического сдвига при $k + 1 \leq m$. В самом деле, подействуем на обе стороны уравнения оператором \mathcal{A}_k :

$$\mathcal{A}_k(\mathbf{E} \mathbf{a}_1 + (\mathbf{E} \oplus 1) \mathbf{a}_2) = \mathcal{A}_k(\mathbf{0}).$$

Так как оператор циклического сдвига линеен и $\mathbf{0}$ – его неподвижная точка, то

$$\mathcal{A}_k(\mathbf{a}_1) + \mathcal{A}_{k+1}(\mathbf{a}_2) = \mathbf{0},$$

$$\mathcal{A}_k(\mathbf{a}_1) = \mathcal{A}_{k+1}(\mathbf{a}_2).$$

Подействовав на последнее выражение оператором \mathcal{A}_{m-k} получим

$$\mathcal{A}_m(\mathbf{a}_1) = \mathcal{A}_{m+1}(\mathbf{a}_2).$$

Так как $\mathcal{A}_m(\mathbf{a}_1) = \mathbf{a}_1$ и $\mathcal{A}_{m+1}(\mathbf{a}_2) = \mathcal{A}_m(\mathcal{A}_1(\mathbf{a}_2)) = \mathcal{A}_1(\mathbf{a}_2)$, то получим

$$\mathbf{a}_1 = \mathcal{A}_1(\mathbf{a}_2),$$

что эквивалентно уравнению (5).

Применяя аналогичные рассуждения легко доказать следующую теорему.

Теорема. (О структуре решения однородного линейного уравнения) Если в уравнении (5) $\mathbf{P}_1 = \mathbf{E} \oplus i_1$, $\mathbf{P}_2 = \mathbf{E} \oplus i_2$, $i_1 < i_2$, то уравнение имеет 2^m различных пар решений вида $\{\mathbf{a}_2, \mathcal{A}_{i_2-i_1}(\mathbf{a}_2)\} \forall \mathbf{a}_2 \in V^m(2)$.

Полученный результат легко обобщается на случай, когда уравнение (5) содержит произвольное число переменных $\mathbf{a}_1, \mathbf{a}_2, \dots, \mathbf{a}_n$, $n \leq 2^m$, а именно справедлива

Теорема. Пусть в уравнении $\sum_{j=1}^n \mathbf{P}_{ij} \mathbf{a}_j = \mathbf{0}$, $i_1 < i_k, \forall k > 1$, тогда уравнение имеет $2^{m(n-1)}$

решений, которые могут быть найдены по формуле $\{\mathbf{a}_1 = \sum_{k=2}^n \mathcal{A}_{i_k - i_1}(\mathbf{a}_k), \mathbf{a}_2, \dots, \mathbf{a}_n\}$

$\forall \mathbf{a}_k \in V^m(2), 1 < k \leq n$.

2.5. Исследование систем линейных векторных уравнений с матричными коэффициентами

Рассмотрим ансамбль $\mathcal{E}_R(l, n_0, m)$ регулярных двоичных МПП -кодов. Рассмотрим подмножество этого ансамбля: пусть $\mathbf{H}_s \in \mathcal{E}_R(l, n_0, m)$ – проверочная матрица вида

$$\mathbf{H}_s = \begin{pmatrix} \mathbf{P}_{11} & \mathbf{P}_{12} & \mathbf{P}_{13} & \dots & \mathbf{P}_{1n_0} \\ \mathbf{P}_{21} & \mathbf{P}_{22} & \mathbf{P}_{23} & \dots & \mathbf{P}_{2n_0} \\ \vdots & \vdots & \vdots & \vdots & \vdots \\ \mathbf{P}_{l1} & \mathbf{P}_{l2} & \mathbf{P}_{l3} & \dots & \mathbf{P}_{ln_0} \end{pmatrix}, \quad (7)$$

где $\mathbf{P}_{ij} = \mathbf{E} \oplus i_j \in \mathcal{P}_s^m$, $i = \overline{1, n_0}$, $j = \overline{1, l}$. Если $n = n_0 m$ – длина кодового слова, то условие различия всех матриц в каждой строке и каждом столбце проверочной матрицы эквивалентно условию $m \geq ln_0$. Таким образом \mathbf{H}_s определяет ансамбль двоичных МПП -кодов, который мы обозначим $\mathcal{E}_S(l, n_0, m)$. Из построения ансамбля ясно, что $\mathcal{E}_S(l, n_0, m) \subset \mathcal{E}_R(l, n_0, m)$. Элементы ансамбля $\mathcal{E}_S(l, n_0, m)$ получаются путем выбора без возвращений матриц перестановок $\mathbf{P}_{ij} \in \mathcal{P}_m^s$, $i = 1, 2, \dots, l$, $j = 1, 2, \dots, n_0$. Легко показать, что

$$|\mathcal{E}_S(l, n_0, m)| = \frac{m!}{(ln_0)!}.$$

Преимущество ансамбля $\mathcal{E}_S(l, n_0, m)$ перед ансамблем $\mathcal{E}_R(l, n_0, m)$ заключается в том, что нам достаточно хранить не ln_0 матриц перестановок, а ln_0 чисел, так как матрица $\mathbf{E} \oplus h$ полностью определяется числом h .

Пусть \mathbf{c} – кодовое слово двоичного МПП –кода из ансамбля $\mathcal{E}_S(l, n_0, m)$. Рассмотрим проверочное соотношение $\mathbf{c} \mathbf{H}_s^T = \mathbf{0}$. Так как длина кодового слова равна $n = n_0 m$, то можно разбить \mathbf{c} на n_0 векторов $\mathbf{a}_1, \mathbf{a}_2, \dots, \mathbf{a}_{n_0}$, $\mathbf{a}_i \in V^m(2)$. Тогда проверочное соотношение является недоопределенной системой векторных уравнений с матричными коэффициентами, а именно

$$\begin{cases} \mathbf{P}_{11} \mathbf{a}_1 + \mathbf{P}_{12} \mathbf{a}_2 + \dots + \mathbf{P}_{1n_0} \mathbf{a}_{n_0} = \mathbf{0} \\ \mathbf{P}_{21} \mathbf{a}_1 + \mathbf{P}_{22} \mathbf{a}_2 + \dots + \mathbf{P}_{2n_0} \mathbf{a}_{n_0} = \mathbf{0} \\ \dots \\ \mathbf{P}_{l1} \mathbf{a}_1 + \mathbf{P}_{l2} \mathbf{a}_2 + \dots + \mathbf{P}_{ln_0} \mathbf{a}_{n_0} = \mathbf{0} \end{cases} \quad (8)$$

Вопрос о структуре решения системы (8) в настоящее время является открытым. Мы рассмотрим частный случай, а именно

$$\begin{cases} \mathbf{P}_{11} \mathbf{a}_1 + \mathbf{P}_{12} \mathbf{a}_2 = \mathbf{0} \\ \mathbf{P}_{21} \mathbf{a}_1 + \mathbf{P}_{22} \mathbf{a}_2 = \mathbf{0} \\ \dots \\ \mathbf{P}_{l1} \mathbf{a}_1 + \mathbf{P}_{l2} \mathbf{a}_2 = \mathbf{0} \end{cases} \quad (9)$$

При $l = 2$ она является однородной системой крамеровского типа

$$\begin{cases} \mathbf{P}_{11} \mathbf{a}_1 + \mathbf{P}_{12} \mathbf{a}_2 = \mathbf{0} \\ \mathbf{P}_{21} \mathbf{a}_1 + \mathbf{P}_{22} \mathbf{a}_2 = \mathbf{0} \end{cases} \quad (10)$$

Пусть $\mathbf{P}_{11} = \mathbf{E} \oplus i_1$, $\mathbf{P}_{12} = \mathbf{E} \oplus i_2$, $\mathbf{P}_{21} = \mathbf{E} \oplus j_1$, $\mathbf{P}_{22} = \mathbf{E} \oplus j_2$, всегда можно считать, что $i_2 > i_1$, $j_2 > j_1$. Очевидно, $\mathbf{a}_1 = \mathbf{a}_2 = (0, 0, \dots, 0)$ и $\mathbf{a}_1 = \mathbf{a}_2 = (1, 1, \dots, 1)$ являются тривиальными решениями системы (10). Исследуем систему на нетривиальные решения. Из первого уравнения следует, что $\mathbf{a}_1 = \mathcal{A}_{i_2-i_1}(\mathbf{a}_2)$, а из второго – $\mathbf{a}_1 = \mathcal{A}_{j_2-j_1}(\mathbf{a}_2)$. Таким образом, $\mathcal{A}_{j_2-j_1}(\mathbf{a}_2) = \mathcal{A}_{i_2-i_1}(\mathbf{a}_2)$. Из следствия из теоремы о неподвижных точках это означает, что

$$i_2 - i_1 = j_2 - j_1. \quad (11)$$

Уравнение (11) назовем *уравнением равномерности*. Понятие равномерности заменяет определение линейной зависимости в пространстве $V^m(2)$. Систему, для которой выполняется уравнение равномерности назовем *равномерной системой*.

Теперь покажем, что из уравнения (11) следует существование нетривиальных решений системы (10).

В самом деле, из системы

$$\begin{cases} (\mathbf{E} \oplus i_1)\mathbf{a}_1 + (\mathbf{E} \oplus i_2)\mathbf{a}_2 = \mathbf{0} \\ (\mathbf{E} \oplus j_1)\mathbf{a}_1 + (\mathbf{E} \oplus j_2)\mathbf{a}_2 = \mathbf{0} \end{cases}$$

следует, что

$$\begin{cases} \mathbf{a}_1 = \mathcal{A}_{i_2-i_1}(\mathbf{a}_2) \\ \mathbf{a}_1 = \mathcal{A}_{j_2-j_1}(\mathbf{a}_2), \end{cases}$$

но так как $i_2 - i_1 = j_2 - j_1$, то из следствия теоремы о неподвижных точках, получим, что $\forall \mathbf{a}_2 \in V^m(2) \mathcal{A}_{i_2-i_1}(\mathbf{a}_2) = \mathcal{A}_{j_2-j_1}(\mathbf{a}_2)$. Таким образом, оба уравнения последней системы являются эквивалентными. Решения системы (10) совпадают с решениями любого из этих уравнений. Как было показано выше, однородное линейное уравнение всегда имеет 2^m решений, из которых $2^m - 2$ являются нетривиальными.

Таким образом доказана

Теорема. Система (10) имеет нетривиальные решения тогда и только тогда, когда она является равномерной.

Замечание. Легко заметить, что уравнение равномерности можно получить методами классической матричной алгебры. Известно, что однородная система крамеровского типа над полем \mathbb{R} вещественных чисел имеет ненулевые решения тогда и только тогда, когда определитель матрицы системы равен нулю. В нашем случае это означает, что

$$\det \begin{pmatrix} \mathbf{P}_{11} & \mathbf{P}_{12} \\ \mathbf{P}_{21} & \mathbf{P}_{22} \end{pmatrix} = \mathbf{P}_{11}\mathbf{P}_{22} + \mathbf{P}_{21}\mathbf{P}_{12} = \mathbf{0}.$$

Так как $\mathbf{P}_{11} = \mathbf{E} \oplus i_1$, $\mathbf{P}_{12} = \mathbf{E} \oplus i_2$, $\mathbf{P}_{21} = \mathbf{E} \oplus j_1$, $\mathbf{P}_{22} = \mathbf{E} \oplus j_2$, то $\mathbf{P}_{11}\mathbf{P}_{22} + \mathbf{P}_{21}\mathbf{P}_{12} = \mathbf{E} \oplus (i_1 + j_2) + \mathbf{E} \oplus (j_1 + i_2) = \mathbf{0}$, откуда $i_1 + j_2 = j_1 + i_2$, что эквивалентно уравнению равномерности.

Уравнение равномерности легко обобщается для случая, когда $l > 2$. Поэтому предыдущую теорему можно обобщить для и системы (9).

Теорема. Система (9) имеет нетривиальные решения тогда и только тогда, когда она является равномерной.

Исследование систем большей размерности является затруднительным, так как при их анализе возникают матрицы вида $\mathbf{P}_i + \mathbf{P}_j$ ($\mathbf{P}_i, \mathbf{P}_j \in \mathcal{P}_s^m$), которые не только не являются матрицами циклического сдвига, но и не принадлежат группе \mathcal{P}^m . Например, можно показать, что при четном m определитель матрицы $\mathbf{P}_i + \mathbf{P}_j$ равен нулю, а при нечетных – 2. Тем не менее для системы (8) справедлива

Теорема. Если система (8) является равномерной, то она имеет нетривиальные решения.

Поясним, что означает равномерность для системы (8). Для этого представим \mathbf{P}_{ks} в виде $\mathbf{E} \oplus i_{ks}$, тогда получим

$$\begin{cases} (\mathbf{E} \oplus i_{11})\mathbf{a}_1 + (\mathbf{E} \oplus i_{12})\mathbf{a}_2 + \dots + (\mathbf{E} \oplus i_{1n_0})\mathbf{a}_2 = \mathbf{0} \\ (\mathbf{E} \oplus i_{21})\mathbf{a}_1 + (\mathbf{E} \oplus i_{22})\mathbf{a}_2 + \dots + (\mathbf{E} \oplus i_{2n_0})\mathbf{a}_2 = \mathbf{0} \\ \dots \\ (\mathbf{E} \oplus i_{l1})\mathbf{a}_1 + (\mathbf{E} \oplus i_{l2})\mathbf{a}_2 + \dots + (\mathbf{E} \oplus i_{ln_0})\mathbf{a}_2 = \mathbf{0} \end{cases} \quad (12)$$

Равномерность системы (12), а значит и (8) равносильна выполнению следующих $(l - 1)n_0$ соотношений:

$$i_{21} = (i_{11} + h_1) \bmod m, i_{22} = (i_{12} + h_1) \bmod m, \dots, i_{2n_0} = (i_{1n_0} + h_1) \bmod m$$

$$i_{31} = (i_{11} + h_2) \bmod m, i_{32} = (i_{12} + h_2) \bmod m, \dots, i_{3n_0} = (i_{1n_0} + h_2) \bmod m$$

...

$$i_{l1} = (i_{11} + h_{l-1}) \bmod m, i_{l2} = (i_{12} + h_{l-1}) \bmod m, \dots, i_{ln_0} = (i_{1n_0} + h_{l-1}) \bmod m.$$

2.6. Специальные виды проверочных матриц МПП-кодов.

МПП-коды, основанные на перестановках-умножениях

Пусть $\sigma \in \mathcal{S}_m$, возьмем случайное $b_1 \in \mathbb{N}$, $(b_1, m) = 1$, $b_1^x = 1 \bmod m$, $x \geq l$. Тогда существует перестановки-умножения $\sigma_{b_1}, \sigma_{b_1^2}, \dots, \sigma_{b_1^l}$, причем условия $b_1^x = 1 \bmod m$ и $x \geq l$ гарантируют, что $\sigma_{b_1^i} = \sigma_{b_1^j}$ тогда и только тогда, когда $i = j$ ($i, j \leq l$).

Каждой перестановке $\sigma_{b_1^i}$ поставим в соответствие матрицу перестановок $\mathbf{P}_{\sigma_{b_1^i}}$. Построим столбец \mathbf{P}_1 , состоящий из таких матриц, получим

$$\mathbf{P}_1 = \begin{pmatrix} \mathbf{P}_{\sigma_{b_1}} \\ \mathbf{P}_{\sigma_{b_1^2}} \\ \mathbf{P}_{\sigma_{b_1^3}} \\ \vdots \\ \mathbf{P}_{\sigma_{b_1^l}} \end{pmatrix}.$$

Выберем $b_2 \in \mathbb{N}$, $(b_2, m) = 1$, $b_2 \neq b_1^i \bmod m$, $i = \overline{1, l}$. Построим перестановки-умножения $\sigma_{b_2 b_1}, \sigma_{b_2 b_1^2}, \dots, \sigma_{b_2 b_1^l}$. Из алгоритма построения следует, что $\sigma_{b_1^i} \neq \sigma_{b_2 b_1^j} \forall i, j \leq l$. Вновь отобразим каждую перестановку $\sigma_{b_2 b_1^i}$ на матрицу перестановок $\mathbf{P}_{\sigma_{b_2 b_1^i}}$. Построим столбец \mathbf{P}_2 , состоящий из таких матриц, получим

$$\mathbf{P}_2 = \begin{pmatrix} \mathbf{P}_{\sigma_{b_2 b_1}} \\ \mathbf{P}_{\sigma_{b_2 b_1^2}} \\ \mathbf{P}_{\sigma_{b_2 b_1^3}} \\ \vdots \\ \mathbf{P}_{\sigma_{b_2 b_1^l}} \end{pmatrix}.$$

Для $b_3 \in \mathbb{N}$ потребуем выполнения всех условий, описанных выше, и, кроме того, $b_3 \neq b_2 b_1^i \pmod m$. Вообще, для b_j необходимо выполнение $j - 1$ соотношения

$$\begin{cases} b_j \neq b_1^i \pmod m \\ b_j \neq b_2 b_1^i \pmod m \\ b_j \neq b_3 b_1^i \pmod m \\ \dots \\ b_j \neq b_{j-1} b_1^i \pmod m, \end{cases}$$

тогда способом, описанным выше, построим множества $\left\langle \{\sigma_{b_j b_1^i}\}_{i=1}^l \right\rangle_{j=3}^{n_0}$. Каждому $\{\sigma_{b_j b_1^i}\}_{i=1}^l$ поставим в соответствие

$$\mathbf{P}_j = \begin{pmatrix} \mathbf{P}_{\sigma_{b_j b_1}} \\ \mathbf{P}_{\sigma_{b_j b_1^2}} \\ \mathbf{P}_{\sigma_{b_j b_1^3}} \\ \vdots \\ \mathbf{P}_{\sigma_{b_j b_1^l}} \end{pmatrix}.$$

Тогда матрица

$$\mathbf{H}_m = (\mathbf{P}_1, \mathbf{P}_2, \dots, \mathbf{P}_{n_0}) = \begin{pmatrix} \mathbf{P}_{\sigma_{b_1}} & \mathbf{P}_{\sigma_{b_2 b_1}} & \dots & \mathbf{P}_{\sigma_{b_{n_0} b_1}} \\ \mathbf{P}_{\sigma_{b_1^2}} & \mathbf{P}_{\sigma_{b_2 b_1^2}} & \dots & \mathbf{P}_{\sigma_{b_{n_0} b_1^2}} \\ \mathbf{P}_{\sigma_{b_1^3}} & \mathbf{P}_{\sigma_{b_2 b_1^3}} & \dots & \mathbf{P}_{\sigma_{b_{n_0} b_1^3}} \\ \vdots & \vdots & \vdots & \vdots \\ \mathbf{P}_{\sigma_{b_1^l}} & \mathbf{P}_{\sigma_{b_2 b_1^l}} & \dots & \mathbf{P}_{\sigma_{b_{n_0} b_1^l}} \end{pmatrix} \quad (13)$$

определяет ансамбль регулярных МПП-кодов Галлагера длины $n = n_0 m$, который мы обозначим $\mathcal{E}_M(l, n_0, m)$. Элементы ансамбля получаются путем случайного выбора числа $b_1 : (b_1, m) = 1$, а так же случайного выбора перестановки $\sigma \in \mathcal{S}_m$. Указанный выше способ построения матрицы \mathbf{H}_m гарантирует, что все матрицы в каждой строке и в каждом столбце будут различны (они все будут являться классами смежности).

Описанный выше алгоритм генерации проверочной матрицы можно модифицировать, если вместо одной перестановки $\sigma \in \mathcal{S}_m$, взять $\sigma^{(1)}, \dots, \sigma^{(n_0)} \in \mathcal{S}_m$ таких, что $\forall i, j \leq n_0$ если $i \neq j$, то $\{\sigma^{(i)}, (\sigma^{(i)})^2, \dots, (\sigma^{(i)})^{\text{ord } \sigma^{i-1}}\} \cap \{\sigma^{(j)}, (\sigma^{(j)})^2, \dots, (\sigma^{(j)})^{\text{ord } \sigma^{j-1}}\} = \emptyset$.

Тогда матрица

$$\mathbf{H}_{m^*} = \begin{pmatrix} \mathbf{P}_{\sigma^{(1)}} & \mathbf{P}_{\sigma^{(2)}} & \dots & \mathbf{P}_{\sigma^{(n_0)}} \\ \mathbf{P}_{\sigma_{b_1}^{(1)}} & \mathbf{P}_{\sigma_{b_2}^{(2)}} & \dots & \mathbf{P}_{\sigma_{b_{n_0}}^{(n_0)}} \\ \mathbf{P}_{\sigma_{b_1^2}^{(1)}} & \mathbf{P}_{\sigma_{b_2^2}^{(2)}} & \dots & \mathbf{P}_{\sigma_{b_{n_0^2}}^{(n_0)}} \\ \vdots & \vdots & \vdots & \vdots \\ \mathbf{P}_{\sigma_{b_1^{l-1}}^{(1)}} & \mathbf{P}_{\sigma_{b_2^{l-1}}^{(2)}} & \dots & \mathbf{P}_{\sigma_{b_{n_0^{l-1}}}^{(n_0)}} \end{pmatrix}, \quad (14)$$

где $\forall i \text{ ord } \sigma_j^{(i)} \geq l - 1$, определяет ансамбль регулярных МПП-кодов Галлагера длины $n = n_0 m$, который мы обозначим $\mathcal{E}_{M^*}(l, n_0, m)$. Элементы ансамбля получаются путем случайного и равновероятного выбора без возвращения перестановок $\sigma^{(1)}, \dots, \sigma^{(n_0)} \in \mathcal{S}_m$, а так же чисел b_1, b_2, \dots, b_{n_0} , $(b_i, m) = 1$.

Очевидно, что $|\mathcal{E}_{M^*}(l, n_0, m)| > |\mathcal{E}_M(l, n_0, m)|$. Это обусловлено тем, что в построении проверочной матрицы (14) МПП-кода участвует не одна, как в (13), а набор из n_0 различных перестановок. Как будет показано далее, коды из $\mathcal{E}_{M^*}(l, n_0, m)$ обладают значительно лучшими корректирующими способностями, нежели коды из $\mathcal{E}_M(l, n_0, m)$.

МПП-коды, основанные степенях перестановок

Пусть $\mathbf{P}_1, \mathbf{P}_2, \dots, \mathbf{P}_{n_0} \in \mathcal{P}^m$, причем если $G_i = \{\mathbf{P}_i, \mathbf{P}_i^2, \dots, \mathbf{P}_i^{n_i} = \mathbf{E}\}$, $G_j = \{\mathbf{P}_j, \mathbf{P}_j^2, \dots, \mathbf{P}_j^{n_j} = \mathbf{E}\}$, то

1. $(G_i/\mathbf{E}) \cap (G_j/\mathbf{E}) = \emptyset$ при $i \neq j$,
2. $\forall i = \overline{1, n_0}, n_i \geq l$.

Тогда матрица

$$\mathbf{H}_w = \begin{pmatrix} \mathbf{P}_1 & \mathbf{P}_2 & \mathbf{P}_3 & \dots & \mathbf{P}_{n_0} \\ \mathbf{P}_1^2 & \mathbf{P}_2^2 & \mathbf{P}_3^2 & \dots & \mathbf{P}_{n_0}^2 \\ \mathbf{P}_1^3 & \mathbf{P}_2^3 & \mathbf{P}_3^3 & \dots & \mathbf{P}_{n_0}^3 \\ \vdots & \vdots & \vdots & \vdots & \vdots \\ \mathbf{P}_1^{n_1} & \mathbf{P}_2^{n_2} & \mathbf{P}_3^{n_3} & \dots & \mathbf{P}_{n_0}^{n_{n_0}} \end{pmatrix} \quad (15)$$

определяет ансамбль регулярных МПП-кодов Галлагера длины $n = n_0m$, который мы обозначим $\mathcal{E}_W(l, n_0, m)$. Указанный выше способ построения матрицы \mathbf{H}_w гарантирует, что все матрицы в каждой строке и в каждом столбце будут различны. Элементы ансамбля $\mathcal{E}_W(l, n_0, m)$ получаются путем выбора без возвращений матриц перестановок $\mathbf{P}_i \in \mathcal{P}_m, i = 1, 2, \dots, n_0$, обладающих свойствами (1) и (2).

Замечание. В конструкции матрицы (15) можно увидеть аналогию определителя Вандермонда, однако \mathbf{H}_w не является квадратной матрицей, ее размерность – $lm \times mn_0$.

Модифицирование кодов из ансамбля $\mathcal{E}_S(l, n_0, m)$

Напомним, что ансамбль $\mathcal{E}_S(l, n_0, m)$ задается своей проверочной матрицей

$$\mathbf{H}_s = \begin{pmatrix} \mathbf{P}_{11} & \mathbf{P}_{12} & \mathbf{P}_{13} & \dots & \mathbf{P}_{1n_0} \\ \mathbf{P}_{21} & \mathbf{P}_{22} & \mathbf{P}_{23} & \dots & \mathbf{P}_{2n_0} \\ \vdots & \vdots & \vdots & \vdots & \vdots \\ \mathbf{P}_{l1} & \mathbf{P}_{l2} & \mathbf{P}_{l3} & \dots & \mathbf{P}_{ln_0} \end{pmatrix},$$

где $\mathbf{P}_{ij} \in \mathcal{P}_s^m$.

Предположим, что $\mathbf{P}_{1j} \in \mathcal{P}^m/\mathcal{P}_s^m, j = \overline{1, n_0}$. Каждой матрице \mathbf{P}_{1j} соответствует перестановка $\sigma_j \in \mathcal{S}_m$, причем $\forall h \in \mathbb{N} \sigma_j$ не является перестановкой h -кратного циклического сдвига.

Пусть $h_1, \dots, h_{l-1} \in \mathbb{N}$, причем $h_i = h_j$ тогда и только тогда, когда $i = j$. Тогда построим перестановки h_1 -кратного, h_2 -кратного, \dots, h_{l-1} -кратного циклических сдвигов $\lambda_{h_1}, \lambda_{h_2}, \dots, \lambda_{h_{l-1}}$.

Для каждой σ_j вычислим $\tau_{jh_1} = \sigma_j \cdot \lambda_{h_1}, \tau_{jh_2} = \sigma_j \cdot \lambda_{h_2}, \dots, \tau_{jh_{l-1}} = \sigma_j \cdot \lambda_{h_{l-1}}$.

Так как все h_i и σ_j различны, то и все τ_{jh_i} будут так же различны, тогда матрица

$$\mathbf{H}_{s^*} = \begin{pmatrix} \mathbf{P}_{\tau_{1h_1}} & \mathbf{P}_{\tau_{2h_1}} & \mathbf{P}_{\tau_{3h_1}} & \dots & \mathbf{P}_{\tau_{n_0h_1}} \\ \mathbf{P}_{\tau_{1h_2}} & \mathbf{P}_{\tau_{2h_2}} & \mathbf{P}_{\tau_{3h_2}} & \dots & \mathbf{P}_{\tau_{n_0h_2}} \\ \vdots & \vdots & \vdots & \vdots & \vdots \\ \mathbf{P}_{\tau_{1h_{l-1}}} & \mathbf{P}_{\tau_{2h_{l-1}}} & \mathbf{P}_{\tau_{3h_{l-1}}} & \dots & \mathbf{P}_{\tau_{n_0h_{l-1}}} \end{pmatrix} \quad (16)$$

определяет ансамбль регулярных МПП-кодов Галлагера длины $n = n_0 m$, который мы обозначим $\mathcal{E}_{S^*}(l, n_0, m)$. Элементы ансамбля $\mathcal{E}_{S^*}(l, n_0, m)$ получаются путем выбора без возвращения матриц перестановок $\mathbf{P}_{1j} \in \mathcal{P}_m / \mathcal{P}_s^m$, $j = 1, 2, \dots, n_0$, а так же чисел $h_1, \dots, h_{l-1} \in \mathbb{N}$.

3. РЕЗУЛЬТАТЫ МОДЕЛИРОВАНИЯ

Для генерации проверочных матриц МПП-кодов были написаны программы на языке Borland Delphi, а так же функции для MatLab. Моделирование производилось методами имитационного моделирования с использованием среды MatLab. В качестве канала передачи информации был выбран двоичный канал с аддитивным белым гауссовским шумом (АГБШ). В качестве алгоритма декодирования был выбран итеративный алгоритм Sum-Product с “мягким” входом, работающий с представлением кода в виде двудольного графа Таннера [9]. Максимальное число итераций составило 50. Подробнее с методами декодирования можно ознакомиться в работах [10]–[11].

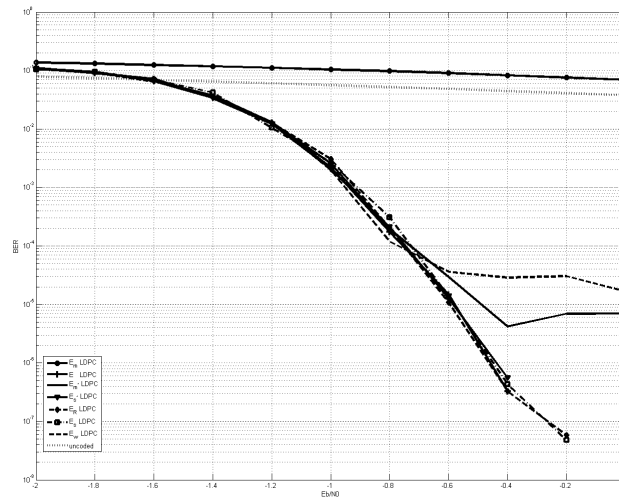


Рис. 1. Зависимость вероятности битовой ошибки от отношения сигнал-шум для кодов $n = 2592$, $l = 4$, $n_0 = 8$, $R = 0.5$, взятых из различных ансамблей.

Как следует из рис. 1, коды из ансамблей $\mathcal{E}_{M^*}(l, n_0, m)$ и $\mathcal{E}_W(l, n_0, m)$ при одинаковых параметрах имеют похожее поведение, выходя на полку при вероятностях битовой ошибки $P_{e1} = 10^{-4.5}$ и $P_{e2} = 10^{-5.5}$ соответственно. Лучшим оказывается поведение кодов из ансамблей $\mathcal{E}_S(l, n_0, m)$, $\mathcal{E}_{S^*}(l, n_0, m)$, $\mathcal{E}_R(l, n_0, m)$ и $\mathcal{E}(l, n_0, m)$, которые показывают схожие корректирующие способности. Так же видно, что код из ансамбля $\mathcal{E}_M(l, n_0, m)$ оказывается неприменимым для практических приложений. Аналогичная ситуация наблюдается и для зависимости вероятности ошибки на блок (кодое слово) от отношения сигнал-шум:

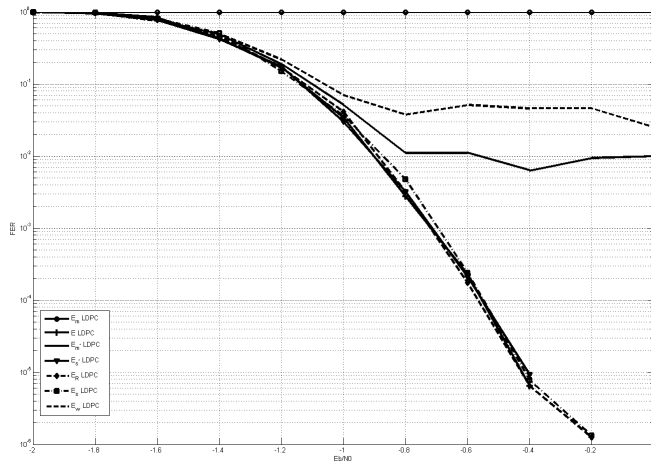


Рис. 2. Зависимость вероятности ошибки на блок от отношения сигнал-шум для кодов $n = 2592, l = 4, n_0 = 8, R = 0.5$, взятых из различных ансамблей.

Все дальнейшие сравнительные характеристики будут приведены только для этих кодов из ансамблей $\mathcal{E}_S(l, n_0, m)$ и $\mathcal{E}_{S^*}(l, n_0, m)$.

3.1. Результаты моделирования кодов из ансамбля $\mathcal{E}_S(l, n_0, m)$

Рассмотрим ансамбль $\mathcal{E}_S(l, n_0, m)$ двоичных МПП-кодов. Фиксируем $n = n_0 m = 2592, R = \frac{1}{2}$. Построим коды, проверочные матрицы \mathbf{H}_s которых содержат $l = 3, 4, 5, 6$ слоев. Для каждого из таких кодов построим кривую зависимости между вероятностью ошибки на бит и отношением сигнал-шум.

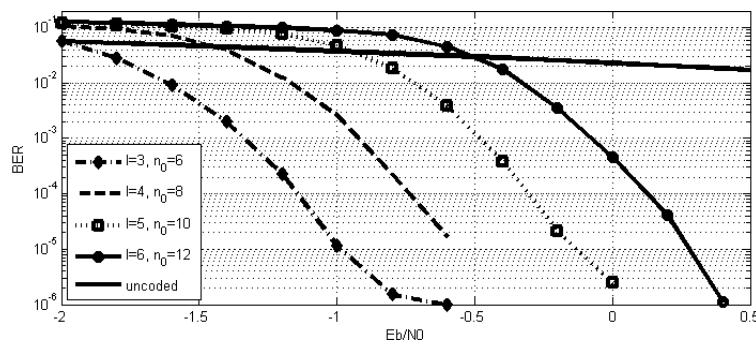


Рис. 3. Зависимость вероятности ошибки на бит от отношения сигнал-шум для кодов $n = 2592, R = 0.5$, при разном числе слоев l .

Рис. 3 показывает, что лучшими характеристиками обладают коды, имеющие $l = 3$ слоя. Увеличение числа слоев на единицу приводит к проигрышу порядка 0.5 Дб. На рис.4 продемонстрирована зависимость между вероятностью ошибки на блок от отношения сигнал-шум для кодов $N = 2592$, $R = 0.5$, при разном числе слоев l .

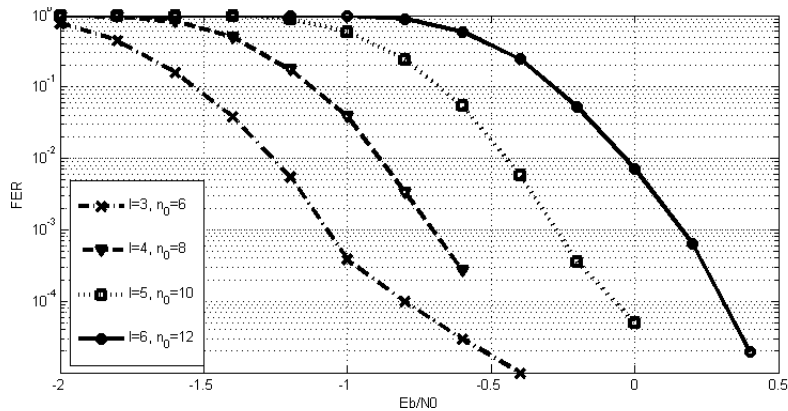


Рис. 4. Зависимость вероятности ошибки на блок от отношения сигнал-шум для кодов $n = 2592$, $R = 0.5$, при разном числе слоев l .

Теперь в ансамбле $\mathcal{E}_S(l, n_0, m)$ фиксируем $l = 3$, $n_0 = 6$, $R = \frac{1}{2}$ и рассмотрим коды длин $n = 648, 1296, 2592, 5184$. Длина кода варьируется за счет изменения m . Для каждого из 4 полученных кодов построим графики зависимости вероятности ошибки на бит и на блок от отношения сигнал-шум.

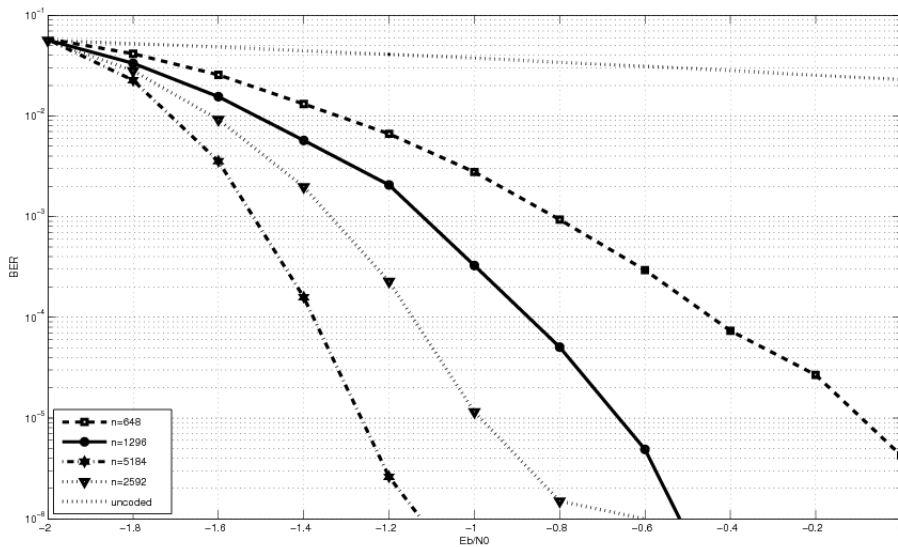


Рис. 5. Зависимость вероятности ошибки на бит от отношения сигнал-шум для кодов разных длин.

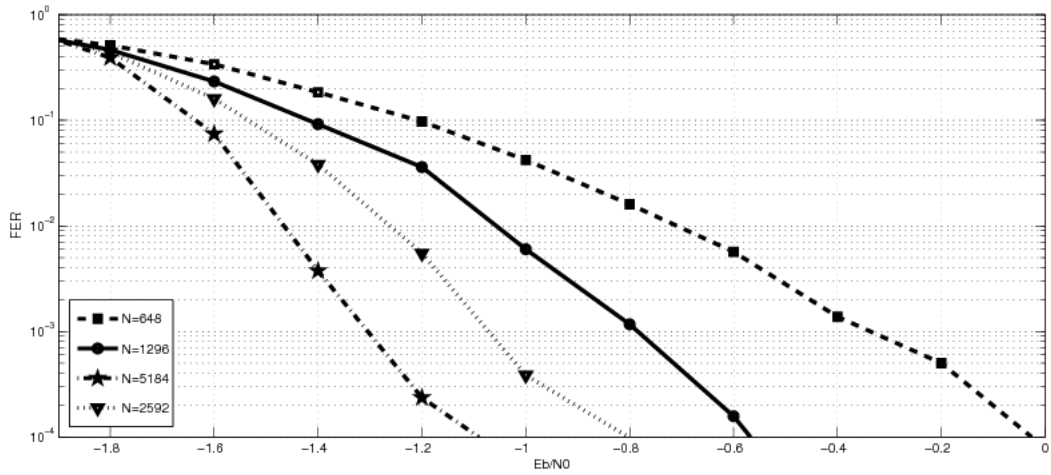


Рис. 6. Зависимость вероятности ошибки на блок от отношения сигнал-шум для кодов разных длин.

Рис. 5 и 6 показывают, что лучшими корректирующими способностями обладают коды с большей длиной. Выигрыш от перехода с кода длины 648 к коду длины 1296 составил около 0.6 Дб (по уровню вероятности битовой ошибки 10^{-5}). Однако в то же время переход от кода длины 1296 к коду длины 2592 по аналогичному уровню вероятности ошибки уже дал выигрыш порядка 0.3 Дб. Та же ситуация наблюдается при переходе от кода длины 2592 к коду длины 5184: выигрыш вновь составил порядка 0.3 Дб.

Покажем, как изменяется корректирующая способность кода из ансамбля $\mathcal{E}_S(l, n_0, m)$ при изменении его скорости. Напомним, что скорость кода R оценивается по формуле:

$$R \geq 1 - \frac{l}{n_0}.$$

Выберем в ансамбле $\mathcal{E}_S(l, n_0, m)$ 5 кодов, обладающих следующими характеристиками:

Таблица 4.

n_0	l	R	n
4	3	0.25	2592
5	3	0.4	2590
6	3	0.5	2592
10	4	0.6	2590
12	3	0.75	2592

Для каждого кода, указанного в таблице 4, построим графики зависимости вероятности ошибки на бит и на блок от отношения сигнал-шум.

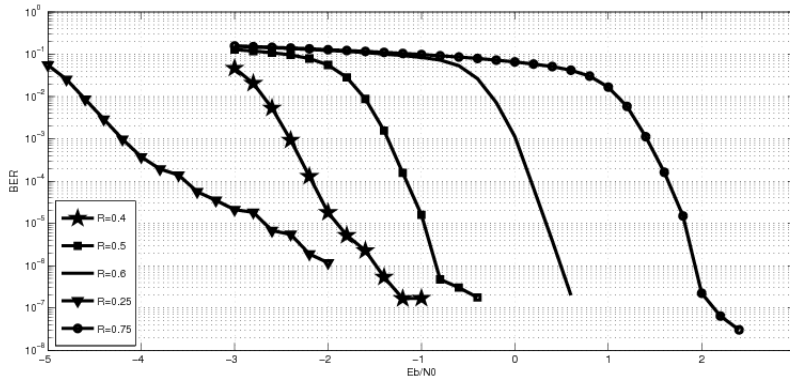


Рис. 7. Зависимость вероятности ошибки на бит от отношения сигнал-шум для кодов с разными скоростями.

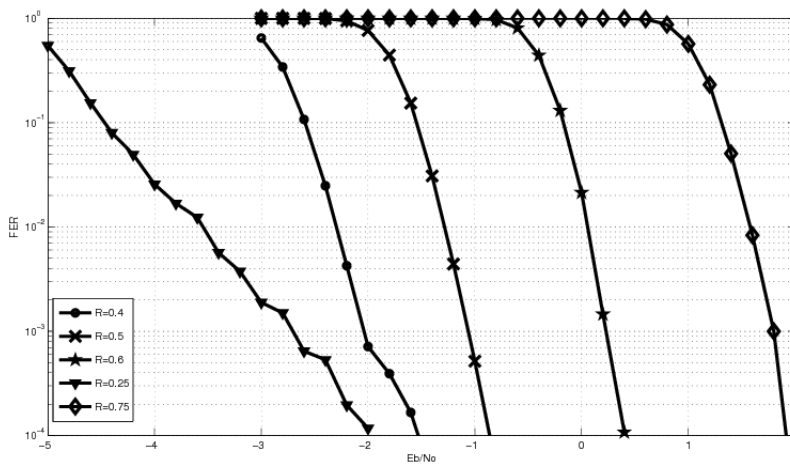


Рис. 8. Зависимость вероятности ошибки на блок от отношения сигнал-шум для кодов с разными скоростями.

Рис. 7 и 8 показывают, что код с $R = 0.25$ обладает “плохими” корректирующими способностями: при увеличении отношения сигнал-шум уменьшение вероятности ошибки на бит и на блок крайне незначительно в сравнении с остальными кодами.

3.2. Результаты моделирования кодов из ансамбля $\mathcal{E}_{S^*}(l, n_0, m)$

В данном разделе мы приведем результаты моделирования кодов из ансамбля $\mathcal{E}_{S^*}(l, n_0, m)$. Отметим, что их поведение во многом напоминает поведение кодов из уже рассмотренного нами ансамбля $\mathcal{E}_S(l, n_0, m)$.

Вначале рассмотрим зависимость кодов от числа слоев l при фиксированной скорости $R = \frac{1}{2}$ и длине $n = 2592$. Рис. 9 и 10 иллюстрируют зависимость вероятности ошибки на бит и на блок соответственно от отношения сигнал-шум.

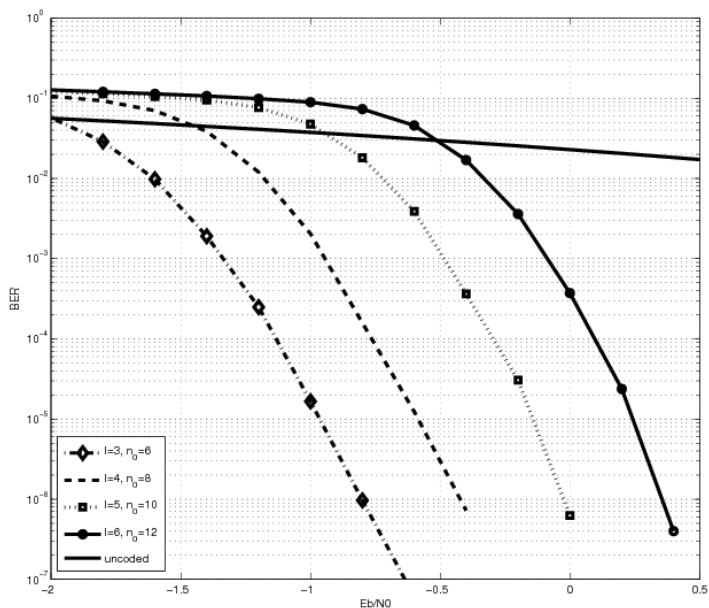


Рис. 9. Зависимость вероятности ошибки на бит от отношения сигнал-шум для кодов $n = 2592, R = 0.5$, при разном числе слоев l .

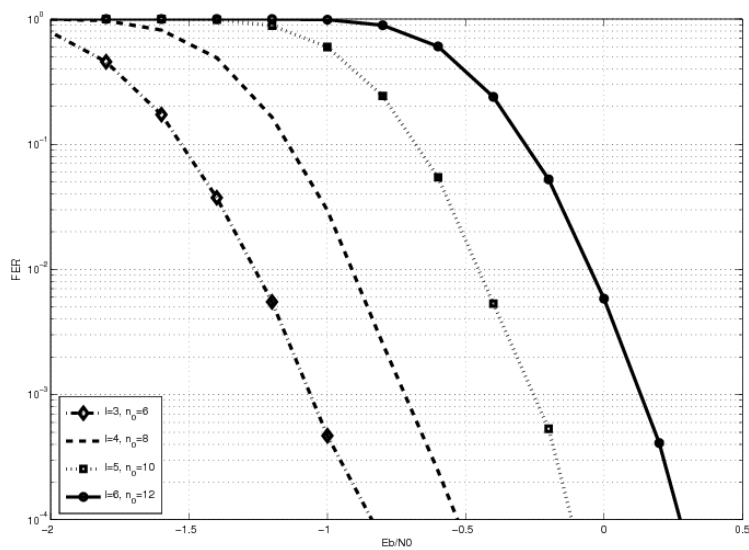


Рис. 10. Зависимость вероятности ошибки на блок от отношения сигнал-шум для кодов $n = 2592, R = 0.5$, при разном числе слоев l .

Как и в случае ансамбля $\mathcal{E}_S(l, n_0, m)$ лучшими корректирующими свойствами обладают трехслойные коды, увеличение числа слоев на 1 приводит к проигрышу в среднем около 0.4 Дб.

Теперь в ансамбле $\mathcal{E}_{S^*}(l, n_0, m)$ фиксируем $l = 3$, $n_0 = 6$, $R = \frac{1}{2}$ и рассмотрим коды длин $n = 648, 1296, 2592, 5184$. Для каждого из кодов построим графики зависимости вероятности ошибки на бит и на блок от отношения сигнал-шум.

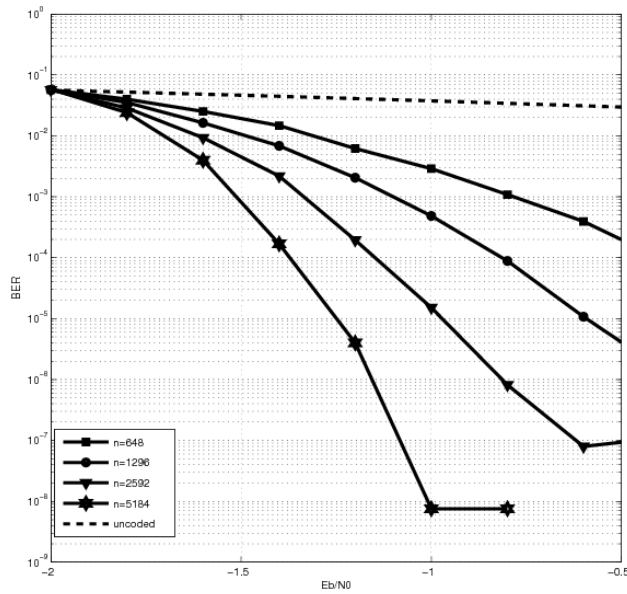


Рис. 11. Зависимость вероятности ошибки на бит от отношения сигнал-шум для кодов разных длин.

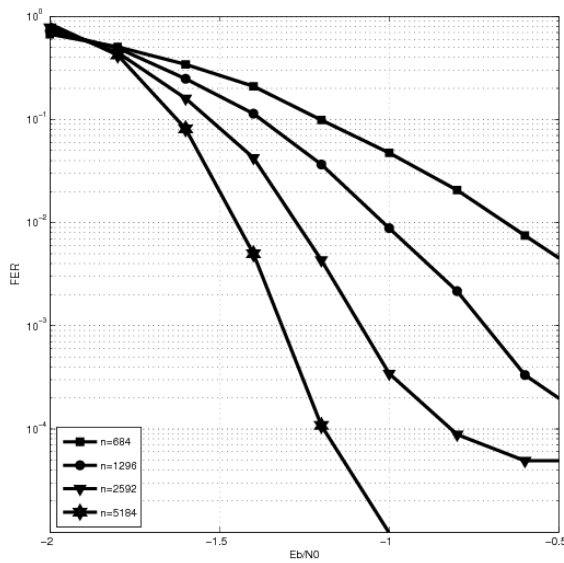


Рис. 12. Зависимость вероятности ошибки на блок от отношения сигнал-шум для кодов разных длин.

В ансамбле $\mathcal{E}_{S^*}(l, n_0, m)$ построим коды, параметры которых приведены в таблице 4. Для каждого из них построим зависимость вероятности ошибки на бит и на блок от отношения сигнал-шум (рис. 13 и 14).

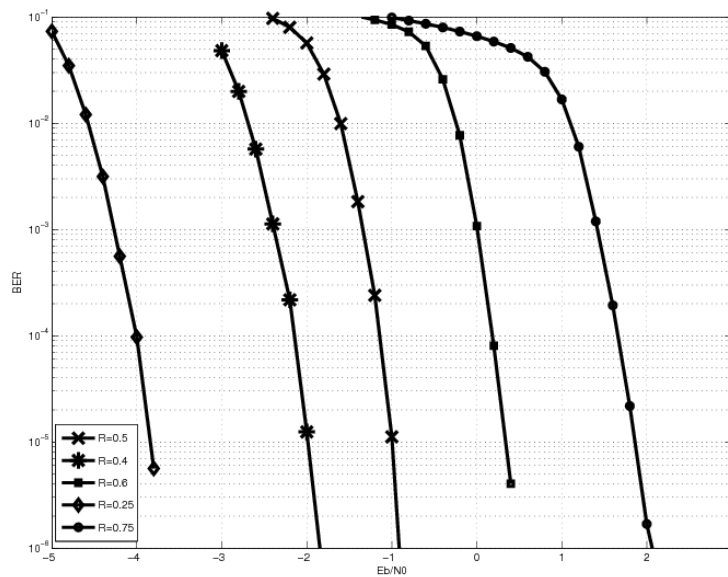


Рис. 13. Зависимость вероятности ошибки на бит от отношения сигнал-шум для кодов с разными скоростями.

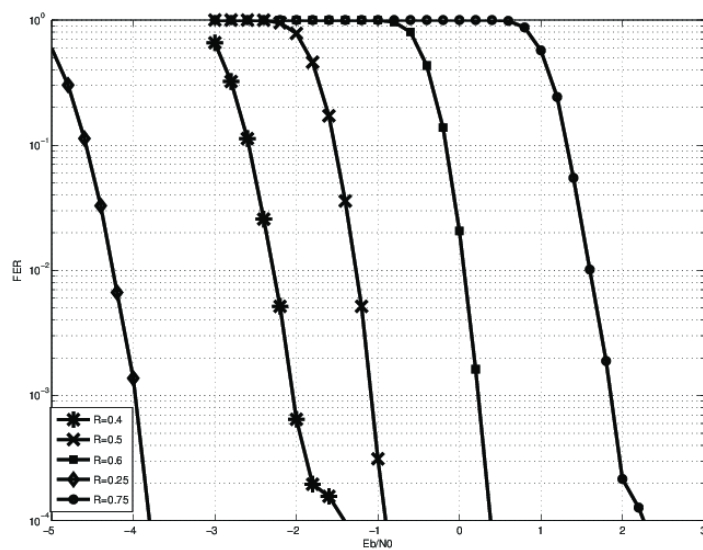


Рис. 14. Зависимость вероятности ошибки на блок от отношения сигнал-шум для кодов с разными скоростями.

4. ЗАКЛЮЧЕНИЕ

Результаты моделирования показывают, что конструкции, основанные на случайных матрицах перестановок, случайных сдвигах единичной матрицы, случайных сдвигах строки из n_0 различных матриц, имеют корректирующие способности, не уступающие корректирующим способностям кодов из ансамбля Галлагера. В то же время, регулярные конструкции провероч-

ных матриц МПП-кодов, основанных на перестановках-умножениях и степенях перестановок, имеют существенно худшие характеристики. Так же установлено, что декодер *Sum – Product* показывает наилучшие результаты декодирования, когда число слоев l проверочной матрицы \mathbf{H} равно 3.

СПИСОК ЛИТЕРАТУРЫ

1. Gallager R. G. *Low-Density Parity-Check Codes*. Massachusetts: MIT Press, 1963.
2. Richardson T. J., Shokrollahi M. A., Urbanke R. L. Design of capacity-approaching irregular low-density parity check codes. *IEEE Trans. on Inform. Theory*, 2001, vol. 47, no. 2, pp. 619–637.
3. Gabidulin E., Moinian A., Honary B. Generalized construction of quasi-cyclic regular LDPC codes based on permutation matrices. *Proc. IEEE Int. Symp. Inf. Theory*. 2006, pp. 679–683.
4. Djurdjevic I., Xu J., Abdel-Ghaffar K., Lin S. A class of low-density parity-check codes constructed based on Reed-Solomon codes with two information symbols. *IEEE Commun. Lett*, 2003, vol. 7, pp. 317–319.
5. Okamura T. Designing LDPC codes using cyclic shifts. *Proc. IEEE Int. Symp. Information Theory*. Yokohama, 2003, p. 151.
6. Fossorier P. C. Quasi-cyclic low-density parity-check codes from circulant permutation matrices. *IEEE Trans. Inform. Theory*, 2004, vol. 50, no. 8, pp. 1788–1793.
7. Davydov A. A., Giulietti M., Marcugini S., Pambianco F. On the spectrum of possible parameters of symmetric configurations. *XII International Symposium on problems of redundancy in information and control systems*. 2009, pp. 69–54.
8. Ling Alan C. H. Difference Triangle Sets From Affine Planes. *IEEE Trans. Inform. Theory*, 2002, vol. 48, no. 8, pp. 2399–2401.
9. Tanner M. A Recursive Approach to Low Complexity Codes. *IEEE Trans. Inform. Theory*, 1981, vol. 27, no. 5, pp. 533–547.
10. Жилин И.В., Рыбин П.С., Зяблов В.В. Сравнение алгоритмов декодирования двоичных МПП-кодов с жёстким входом. *34 международная конференция молодых ученых и специалистов ИПФИ РАН “Информационные технологии и системы”*. Тезисы докладов. Геленджик, 2011, стр. 221–227.
11. Kschischang F. R., Frey B. J., Loeliger H.A. Factor graphs and the sum-product algorithm. *IEEE Trans. Inform. Theory*, 2001, vol. 47, no. 2, pp. 498–519.